

УДК 62 - 83: 621.313

Е.П. Степанова (5 курс, кафедра САУ), С.А. Ковчин, д.т.н., проф.

УТОЧНЕНИЕ МОДЕЛЕЙ СИСТЕМ АВТОМАТИЧЕСКОГО УПРАВЛЕНИЯ ПРИВОДАМИ С ШИРОТНО-ИМПУЛЬСНОЙ МОДУЛЯЦИЕЙ

Физическая модель цифрового электропривода (ЦЭП) представлена на рис. 1.

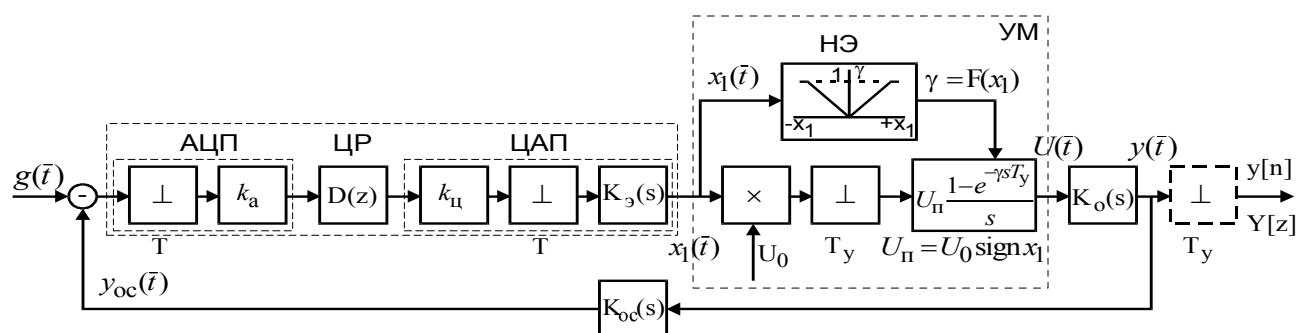


Рис.1. Структурная схема электромеханической системы с цифровым управлением.

В состав модели электромеханической системы (ЭМС) с вентильными двигателями или двигателями постоянного тока входят: цифровой регулятор (ЦР) с дискретной передаточной функцией (ДПФ) $D(z)$, программно реализующей коррекцию системы; усилитель мощности (УМ), формирующий импульсы выходного напряжения $U(t)$ с периодом коммутации T_y ; непрерывный объект управления (ОУ) с передаточной функцией (ПФ) $K_o(s)$ и датчик сигнала обратной связи с ПФ $K_{oc}(s)$.

Цифровой регулятор включает аналого-цифровой и цифро-аналоговый преобразователи (АЦП) и (ЦАП), квантующие информацию с периодом T , и вычислительное устройство, реализующее ДПФ $D(z)$. Коэффициенты передачи АЦП и ЦАП соответственно приняты: $k_A = 1/\delta_A$ и $k_u = \delta_u/1$, где δ_A и δ_u кванты аналогового сигнала этих преобразователей. На выходе модели ЦАП имеется еще экстраполятор с ПФ $K_{\Sigma}(s)$. Обычно преобразователи подбираются так, чтобы $\delta_A = \delta_u$, тогда $k_A = 1$ и $k_u = 1$. Поскольку в реальных устройствах $T \ll T_y$, то дискретностью ЦР можно пренебречь. Тогда дискретная модель ЦР заменяется аналоговой - с ПФ $D(s)$.

Усилитель мощности включает нелинейный блок умножения напряжения $U_o(t)$ и знака сигнала $x_1(t)$, а также ключ с периодом коммутации T_y ; на выходе последнего формируется импульсный сигнал $U_{\Pi}[n] = U_o \text{sign} x_1$. Нелинейный элемент (НЭ) преобразует сигнал $x_1(t)$, в относительную ширину γ импульсного напряжения $U(t)$ выхода формирователя. Таким образом, расчетная модель УМ сохраняет свойства дискретной динамической нелинейности.

Часто модель датчика обратной связи представляют аperiодическим звеном с малой постоянной времени T_{oc} и с ПФ такого вида:

$$K_{oc}(s) = k_D(1 + T_{oc}s)^{-1} \approx k_D.$$

Далее, для упрощения решений, принимаем: $K_{oc}(s) \approx k_D$.

Для решения задачи синтеза введем процедуру получения решетчатых функций "средних значений" (РФ_{ср}), описанную в работах [1, 2]. При использовании РФ_{ср}, в расчетной модели ЭМС будем оперировать не реальными импульсами напряжения $U[n]$, а их средними значениями $U_{icp}[i] = \gamma_i U_o \equiv x_{1cp}[i]$. Это позволяет исключить динамическую нелинейность

$U(t)$, вызванную его трансцендентной зависимостью от $x_I(t)$, и заменить широтно-импульсную модуляцию реальной системы амплитудно-импульсной модуляцией.

Мы предлагаем проводить синтез таких аналого-дискретно-аналоговых систем (АДАС) с использованием двухмерных ДПФ, предложенных С.А. Ковчиным.

Двухмерные ДПФ представляют собою отношение изображений сигналов, но одно из них имеет экспоненциальный комплексный аргумент ($z = \exp sT$), а другое - комплексный аргумент ($s = \alpha \pm j\omega$).

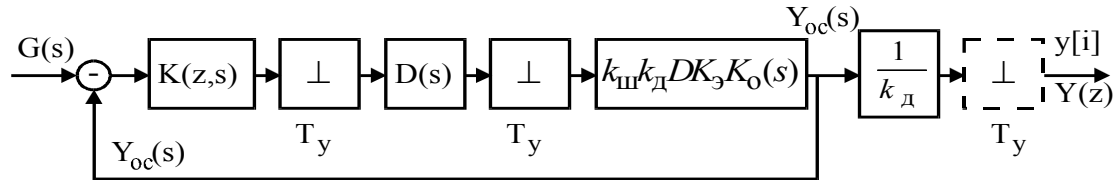


Рис.2 Расчетная модель аналого-дискретно-аналоговой системы.

На рис.2, в отличие от рис.1, на входе системы введены дополнительно импульсный элемент и звено с двухмерной ДПФ $K(z,s)$ на основе таких соображений.

$$K_c(s) = \frac{Y(z)}{E(s)} = \frac{Y_{oc}(z)/k_d \cdot E(z)}{E(s) \cdot E(z)} = K(z,s) \cdot K_c(z), \quad (1)$$

где $K(z,s) = E(z)/E(s)$; $K_c(z) = Y_{oc}(z)/k_d \cdot E(z)$.

Далее:

$$K(z,s) = \frac{G(z) - Y_{oc}(z)}{G(s) - Y_{oc}(s)} = \frac{G(z)(1 - \Phi(z))}{G(s)(1 - \Phi(s))} = \delta_G(z,s) \Delta_c(z,s), \quad (2)$$

$$\text{где } \delta_G(z,s) = \frac{G(z)}{G(s)}; \quad \Delta_c(z,s) = \frac{1 - \Phi(z)}{1 - \Phi(s)} = \frac{1 + D(s)k_{ш}k_{д}K_{э}K_o(s)}{1 + D(z)k_{ш}k_{д}K_{э}K_o(z)}.$$

Из формулы (2) легко получить:

$$\Delta_c(\lambda, \omega) = \frac{|1 + D(j\omega)k_{ш}k_{д}K_{э}K_o(j\omega)|}{|1 + D(j\lambda)k_{ш}k_{д}K_{э}K_o(j\lambda)|} \approx 1.$$

Тогда формулу (1) представим в виде:

$$K(z,s) = \delta_c(z,s) = G(z)/G(s).$$

Сигналы $G(s)$ и $G(z)$ задаются, поэтому можно найти ДПФ $K(z,s)$ и провести указанные ниже исследования. Пусть $g(t) = I(t)$, тогда будем иметь:

$$K(z,s) = zsT/(z-1); \quad K(w,s) = (1 + 0,5Tw)s/w.$$

Принимая $s=j\omega$ и $w=j\lambda$, а также $\omega = 2/T(\arctg 0,5T\lambda)$, получим:

$$K(\lambda) = \sqrt{1 + (0,5T\lambda)^2} \cdot 2 \operatorname{arctg} 0,5T\lambda / \lambda T; \quad \varphi(\lambda) = +\pi/2 - \pi/2 + \operatorname{arctg} 0,5T\lambda.$$

Выражение $K(\lambda)$ неудобно для практического использования. Поэтому предложим аппроксимированную ДПФ дополнительного звена в плоскостях "w" и "z" в таком виде:

$$K(w,0) \approx \frac{1 + (T/4)w}{1 + (T/2\pi)w} \quad \text{и} \quad \varphi(\lambda) \approx +2 \operatorname{arctg} (T/4)\lambda - \operatorname{arctg} (T/2\pi)\lambda.$$

В дальнейших расчетах принято:

$$K_1(z,0) \approx 1,1378 \cdot (z + 0,333) / (z + 0,517).$$

После этого синтез АДАС можно выполнить, используя методику В.А. Бесекерского. Но для этого нужно получить взаимосвязь параметров переходных процессов с показателем колебательности М. Нами рассчитаны такие таблицы для объектов, имеющих в разомкнутом состоянии ПФ типа 2-1-2, которые приведены в докладе.

ЛИТЕРАТУРА:

1. Шипило В.П. Операторно-рекуррентный анализ электрических цепей и систем - М.: Энергоатомиздат, 1991.
2. Ковчин С.А., Фан Лицзинь Свойства упругих электромеханических систем с цифровым управлением // Труды СПбГТУ ,№462,- СПб.: 1996.